

Кафедра 42

Криптология и дискретная математика

Тел. 324-7334; факс. 323-9137; e-mail: kaf42@mail.ru.



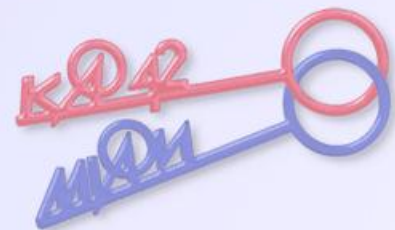
Построение ДСЧ на основе измерения времени доступа к оперативной памяти

Агафьин С.С.

РусКрипто – 2015 г.

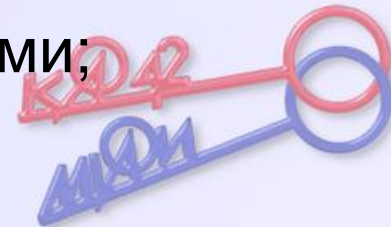
Использование датчиков случайных чисел

- Генерация криптографических ключей.
- Генерация случайных значений для протоколов электронной подписи и установления ключа обмена.
- Генерация случайных значений для протоколов установления защищенного соединения.
- Прочие задачи защиты информации (например, рандомизация адресов с помощью ASLR).



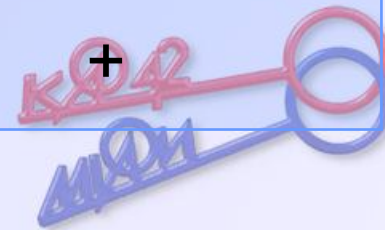
Модель нарушителя

- Нарушитель НЗ согласно «Методическим рекомендациям по обеспечению с помощью криптосредств безопасности персональных данных при их обработке в информационных системах персональных данных с использованием средств автоматизации» от 21.02.2008г.
- Способен:
 - влиять на пользовательские процессы;
 - воздействовать на аппаратуру и сети энергоснабжения;
 - проводить статистический анализ последовательностей известными методами;



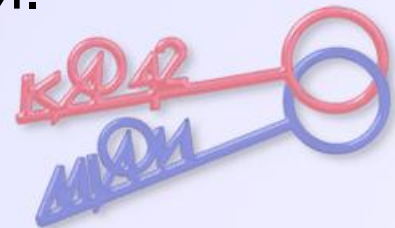
Сравнение существующих ДСЧ

Анализируемый ДСЧ	Критерий сравнения		
	Наличие полноценного обоснования случайности	Высокая скорость (≥ 1 Кбит/с)	Совместимость с большинством аппаратных конфигурация
Биологические ДСЧ (КриптоПро CSP, PGP, ...)	+	—	+/-
Встроенные ДСЧ (Intel Secure Key, VIA Padlock)	+/-	+	—
Дополнительные устройства ДСЧ (PCI-платы и USB-токены)	+	+	—
ДСЧ на основе измерения отклика периферийного оборудования (CryptGenRandom, /dev/random)	—	+	—
ДСЧ на основе измерения погрешности счетчиков времени (Попов, Смышляев: РусКрипто'13)	+/-	+	+
ДСЧ на основе измерения времени доступа к памяти (Mueller: chronox.de)	—	+	+



Причины рассмотрения работы с оперативной памятью

- Простота контуров взаимодействия:
 - Встроенный контроллер памяти (исключен «северный мост» как отдельный чип);
 - Стабильное напряжение от блока питания;
 - Точные умножители.
- Наличие случайной составляющей:
 - В процессорах Intel и AMD используются технологии энергосбережения, что привело к исключению механизма полной стабилизации частоты;
 - Несовпадение частот процессора и памяти.



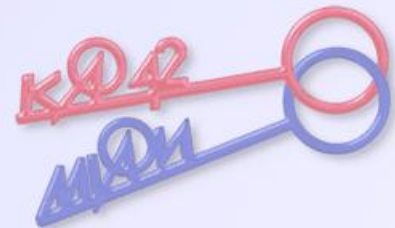
Предварительные условия для получения случайных данных

- Отключение всех ядер процессора, кроме одного.
- Отключение HyperThreading и управления энергопотреблением.
- Отключение поддержки аппаратной виртуализации.
- Запрет аппаратных прерываний (cli).
- **Отключение кэширования:**
 - Установка 31-го бита в CR0;
 - Нужен kernel-mode (ДСЧ в модуле ядра / драйвере).

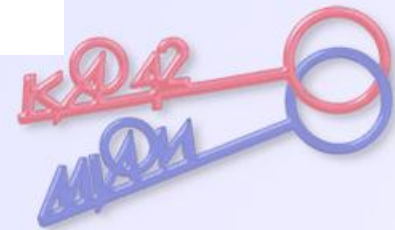
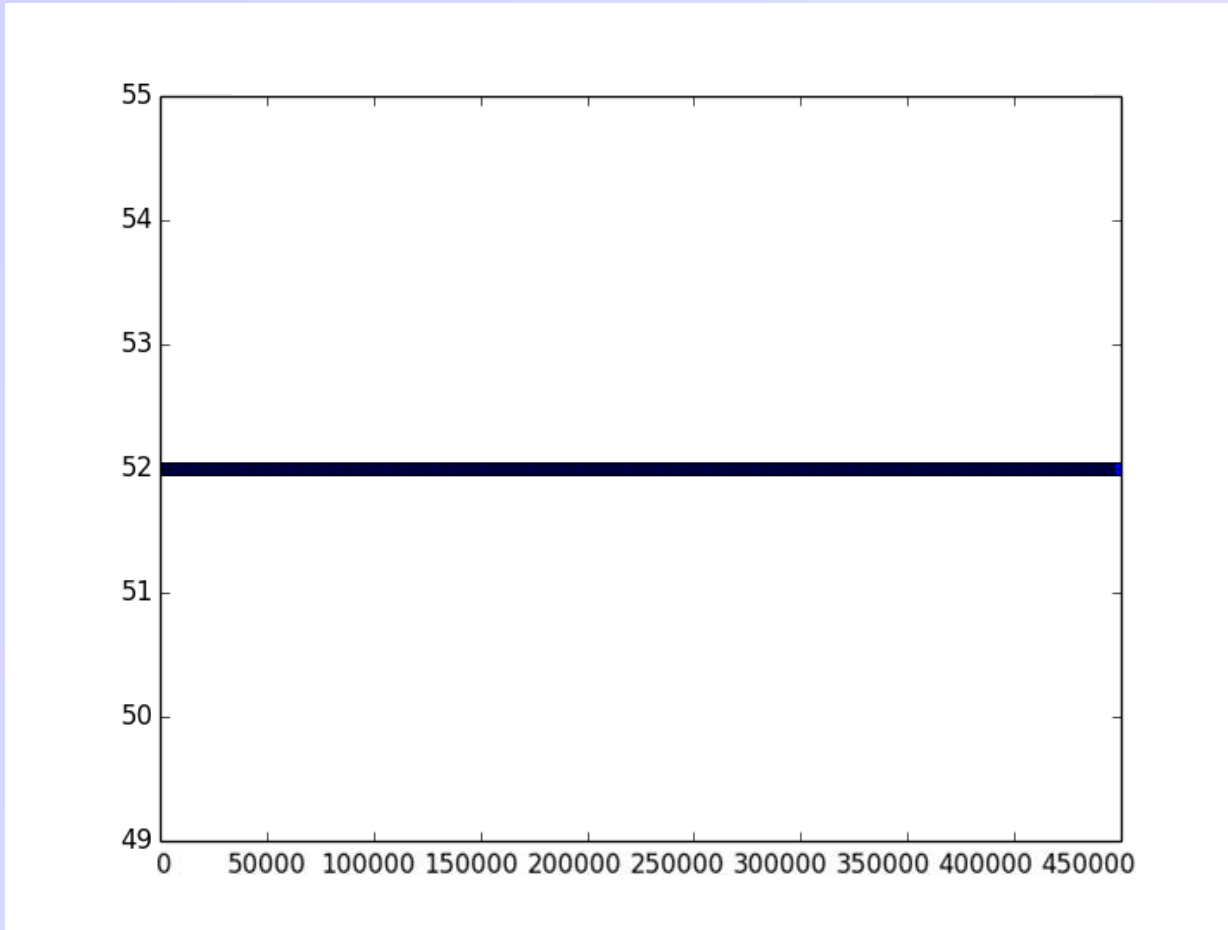


Алгоритм измерения времени доступа к оперативной памяти

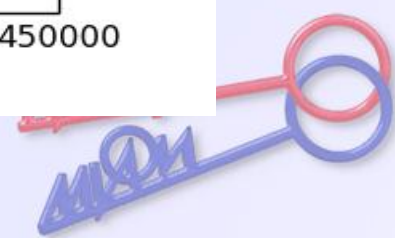
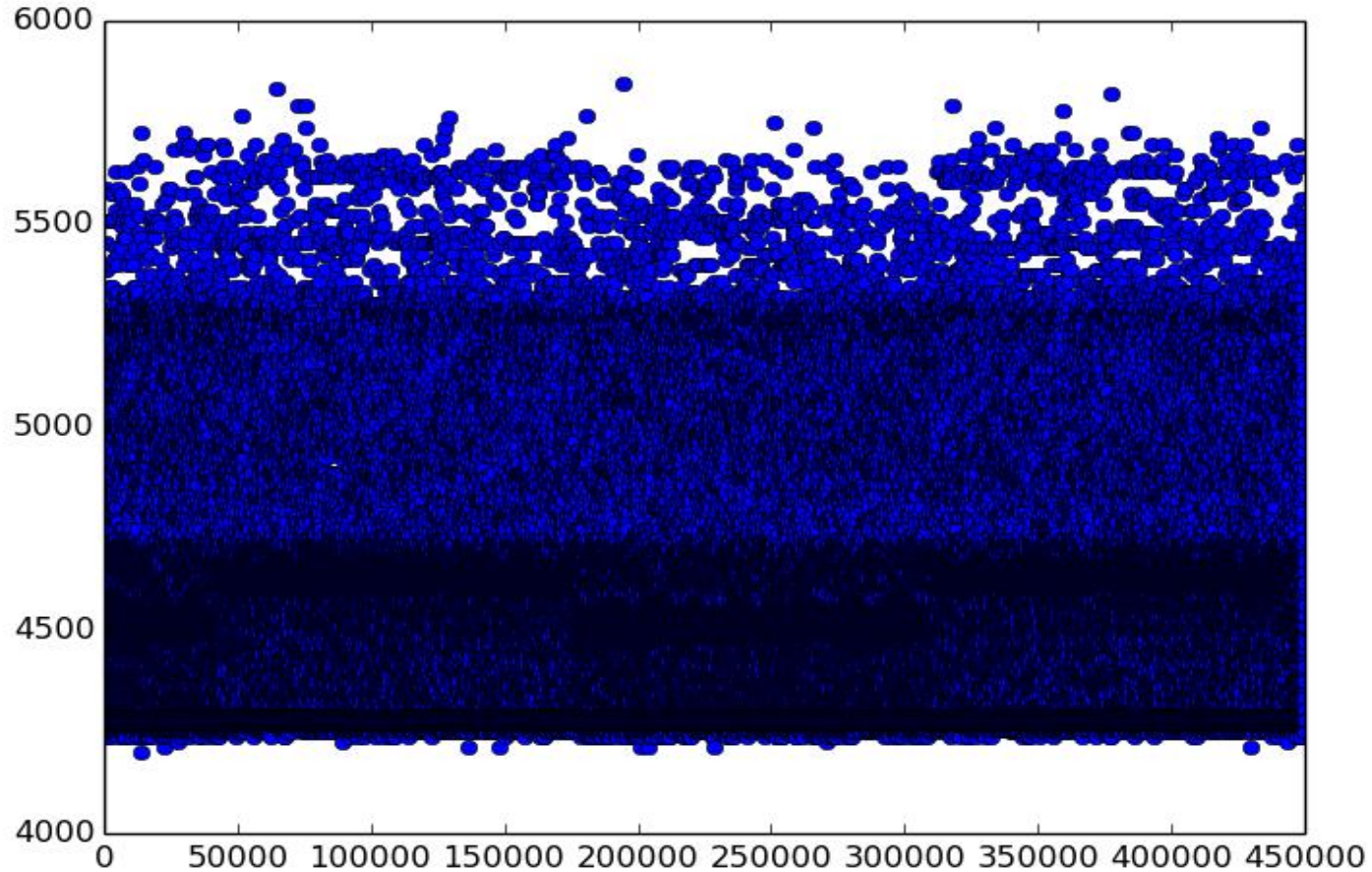
1. Инициализация счетчика ($k:=0$).
2. Ожидание конвейера (CPUID).
3. Замер времени (RDTSC).
4. Запоминание времени в RDI:
 1. `mov edi, edx`
 2. `shl rdi, 32`
 3. `mov eax, edi`
5. Замер времени с сериализацией (RDTSCP).
6. Занесение разности (5) и (3) в массив.
7. `if (++k < MAX_LIMIT) goto (2)`.
8. Завершение алгоритма.



Измерение времени исполнения инструкций (с кэш-памятью)

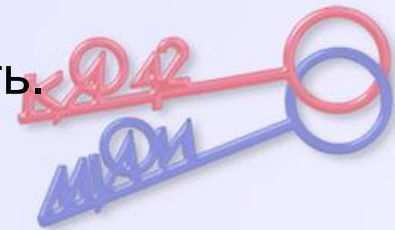


Измерение времени исполнения инструкций (без кэш-памяти)



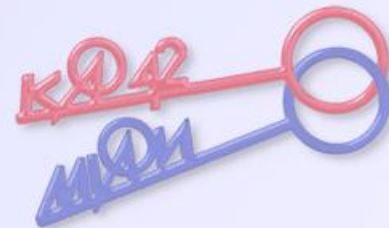
Исключение периодичности

- Представим полученную последовательность как цифровой сигнал.
- Пусть:
 - N – число измерений,
 - $\{x_k\}$ – множество измерений,
 - $\{X_n\} = \text{ДПФ}(\{x_k\})$ – результат дискретного преобразования Фурье,
 - $I^p_k = \begin{cases} 1, & \text{если } |X_n| \geq p, \\ 0, & \text{если } |X_n| < p. \end{cases}$, где $p \in \mathbb{R}$, – индикатор того, что амплитуда превышает p ,
 - $C_p = \sum_k I^p_k$, – число гармоник с высокой амплитудой,
 - $\theta_p = \frac{C_p - C_{1.05p}}{N}$ – доля гармоник, чья амплитуда попадает в 5% интервал,
- $\theta_p = f(p)$. $f(0) = 0$, $f(\max(|X_n|)) = 1 \Rightarrow \exists p': \max(f) = \theta_{p'}$
- $X'_i = \begin{cases} 0, & \text{если } |X_i| > p' \text{ и } i = 0, \\ X_{i-1}, & \text{если } |X_i| > p' \text{ и } i > 0, \\ X_i, & \text{если } |X_i| < p'. \end{cases}$
- $x' = FT^{-1}(\{X'_n\})$ – истинно случайная последовательность.

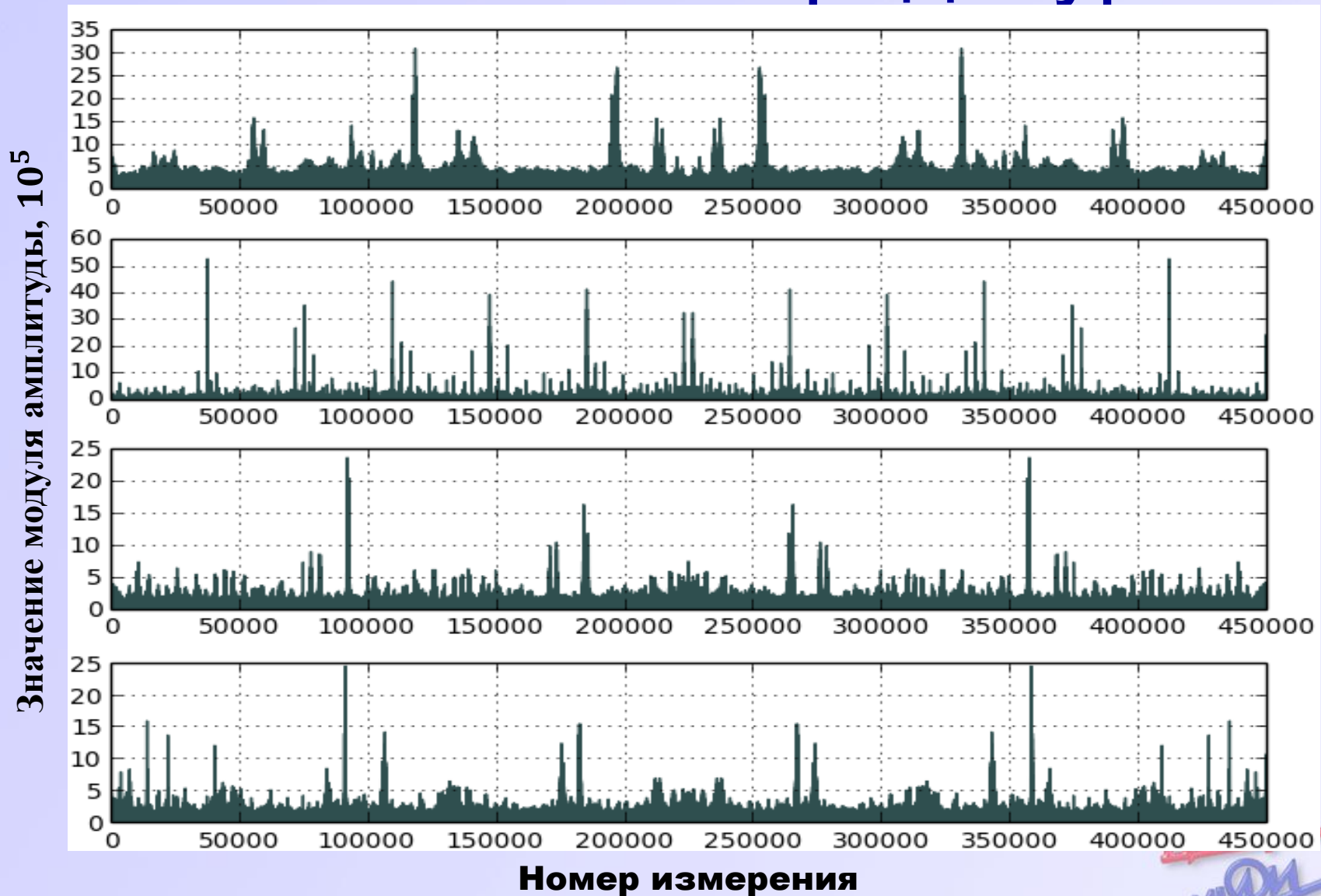


Тестовые стенды

Номер стенда	Конфигурация
1	AMD Athlon FX-4200 (Bulldozer), DDR3-1866
2	AMD Athlon X2, DDR3-2400
3	Intel Core i7 (Sandy Bridge), DDR3-1866
4	Intel Core i5 (Haswell), DDR3-2400

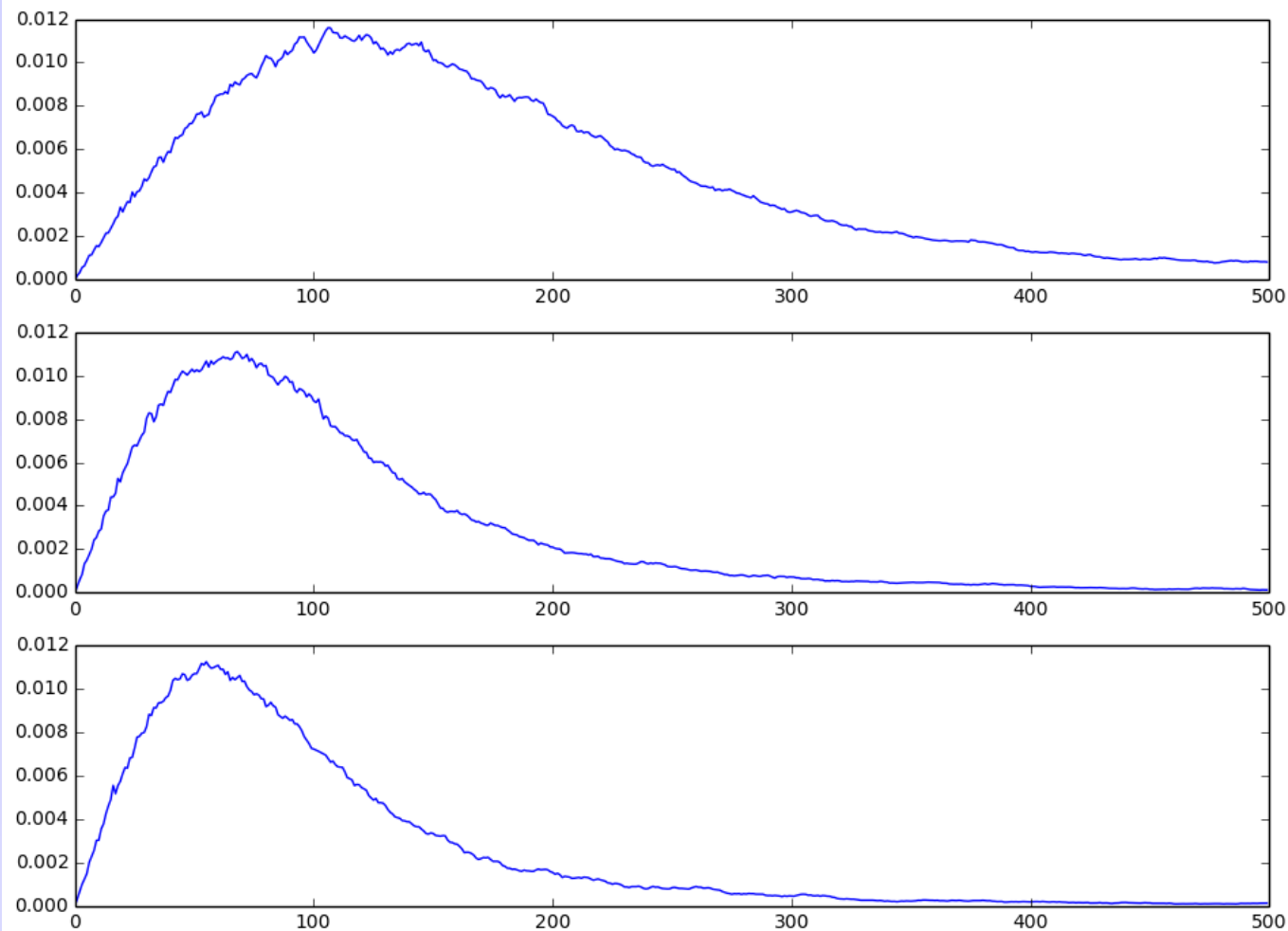


Разложение в ряд Фурье

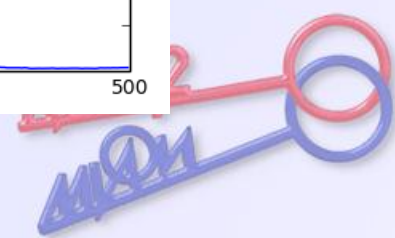


Доля гармоник в рассматриваемом интервале

Доля гармоник с заданными свойствами

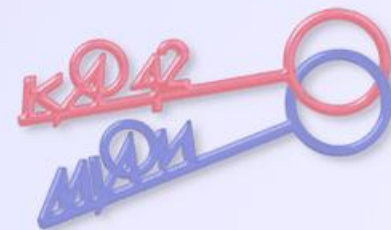


Пороговое значение амплитуды, 10^4

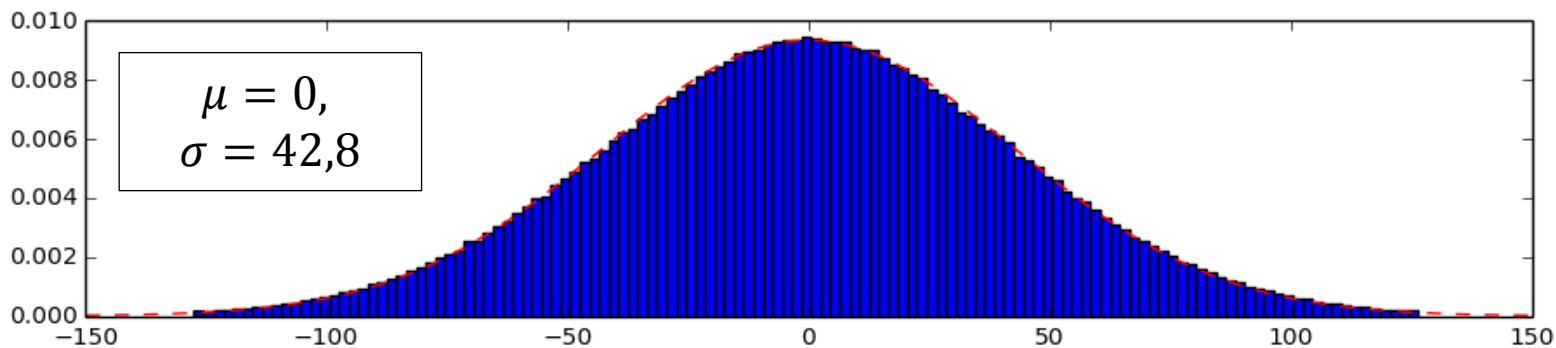
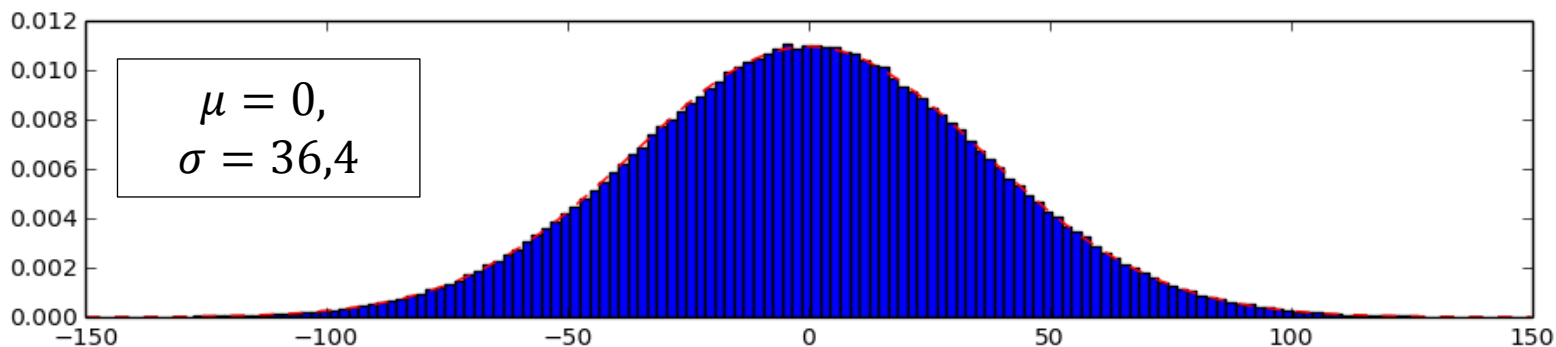
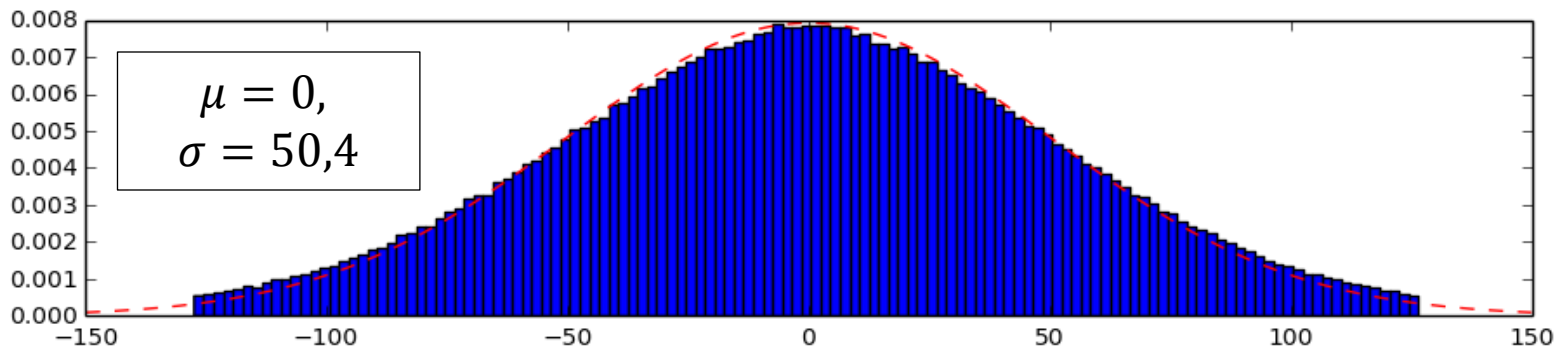


Результаты фильтрации

Номера стенда	Пороговое значение p'	Доля фильтруемых гармоник
1	106334	20.4%
3	68198	18.2%
4	55410	19.8%



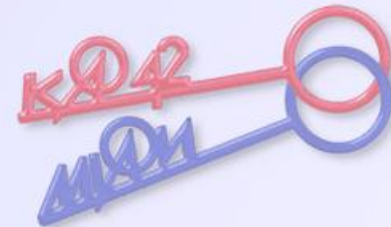
Распределение элементов в последовательности



Оценка производительности СВОЙСТВ

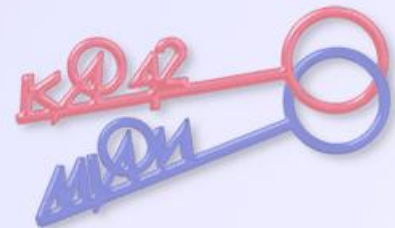
Номер стенда	Среднее отклонение σ	Энтропия элементов последовательности (бит / 1 элемент)	Время генерации (сек.)	Производи- тельность (Кбит / сек.)
1	50,4	5,3	13,50	43,13
3	36,4	5,0	14,10	38,96
4	42,8	5,2	13,80	41,39

Пройдены все тесты из набора NIST SP800-22.



Надежность реализации предлагаемого ДСЧ

- Отсутствует зависимость между статистическими характеристиками выходной последовательности и следующими величинами:
 - средним значением напряжения процессора (в штатном диапазоне);
 - средним значением температуры процессора (в штатном диапазоне);
 - сопротивлением и энергопотреблением устройств, подключенных параллельно к ЭВМ.



Спасибо за внимание!

sagafyin@gmail.com

